

Eingabe: Farbmetrisches Fernseh-Licht-System TLS00a

für Buntton $h^* = lab^*h = 40/360 = 0.111$

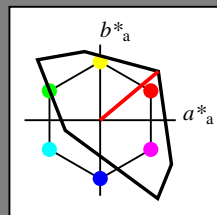
lab^*tch und lab^*nch

D65: Buntton O

LCH*Ma: 51 100 40

olv*Ma: 1.0 0.0 0.0

Dreiecks-Helligkeit t^*



TLS00a; adaptierte CIELAB-Daten

	$L^*=L^*_a$	a^*_a	b^*_a	$C^*_{ab,a}$	$h^*_{ab,a}$
O _{Ma}	50.5	76.91	64.55	100.41	40
Y _{Ma}	92.66	-20.67	90.75	93.08	103
L _{Ma}	83.62	-82.73	79.9	115.02	136
C _{Ma}	86.88	-46.14	-13.53	48.1	196
V _{Ma}	30.39	76.06	-103.59	128.52	306
M _{Ma}	57.31	94.35	-58.39	110.96	328
N _{Ma}	0.01	0.0	0.0	0.0	0
W _{Ma}	95.41	0.0	0.0	0.0	0
RCIE	39.92	58.74	27.99	65.07	25
JCIE	81.26	-2.88	71.56	71.62	92
GCIE	52.23	-42.41	13.6	44.55	162
BCIE	30.57	1.41	-46.46	46.49	272

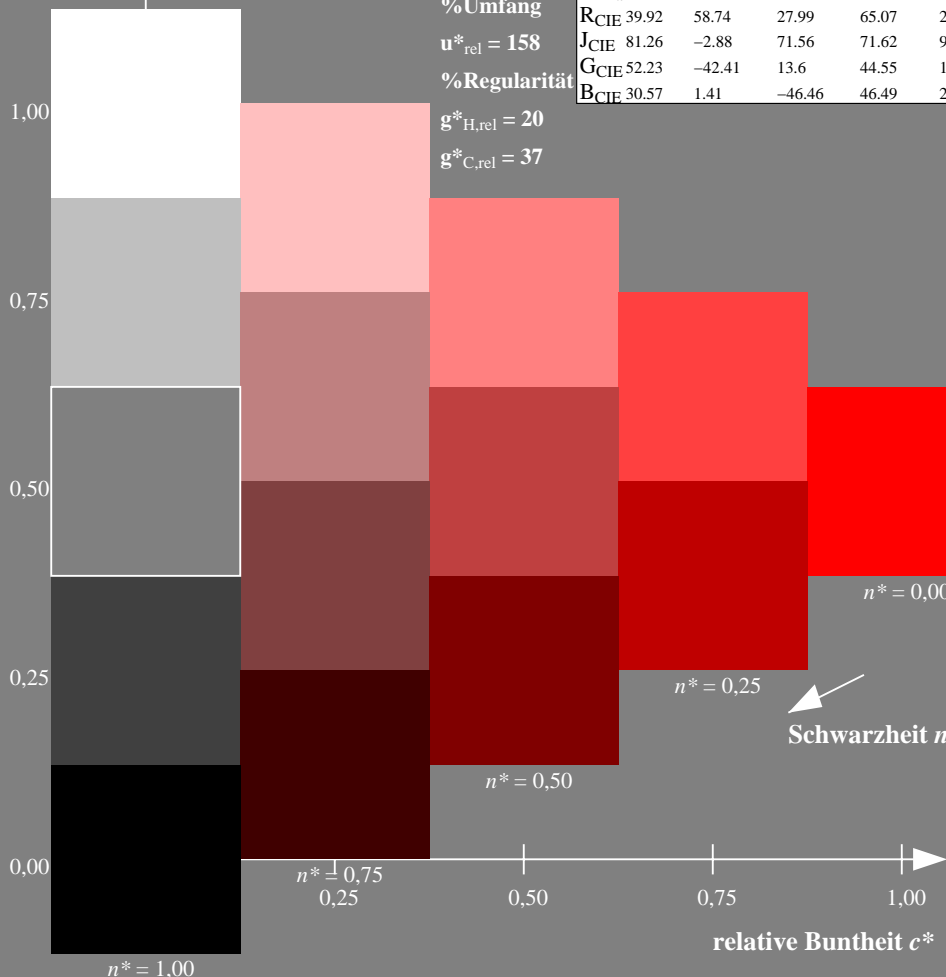
%Umfang

$u^*_{rel} = 158$

%Regularität

$g^*_{H,rel} = 20$

$g^*_{C,rel} = 37$



IG400-7N, 5-stufige Reihen für konstanten CIELAB Buntton 40/360 = 0.111 (links)

Ausgabe: Farbmetrisches Fernseh-Licht-System TLS00a

für Buntton $h^* = lab^*h = 40/360 = 0.111$

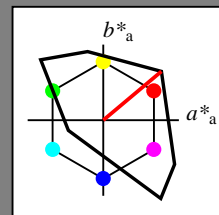
lab^*tch und lab^*nch

D65: Buntton O

LCH*Ma: 51 100 40

olv*Ma: 1.0 0.0 0.0

Dreiecks-Helligkeit t^*



TLS00a; adaptierte CIELAB-Daten

	$L^*=L^*_a$	a^*_a	b^*_a	$C^*_{ab,a}$	$h^*_{ab,a}$
O _{Ma}	50.5	76.91	64.55	100.41	40
Y _{Ma}	92.66	-20.67	90.75	93.08	103
L _{Ma}	83.62	-82.73	79.9	115.02	136
C _{Ma}	86.88	-46.14	-13.53	48.1	196
V _{Ma}	30.39	76.06	-103.59	128.52	306
M _{Ma}	57.31	94.35	-58.39	110.96	328
N _{Ma}	0.01	0.0	0.0	0.0	0
W _{Ma}	95.41	0.0	0.0	0.0	0
RCIE	39.92	58.74	27.99	65.07	25
JCIE	81.26	-2.88	71.56	71.62	92
GCIE	52.23	-42.41	13.6	44.55	162
BCIE	30.57	1.41	-46.46	46.49	272

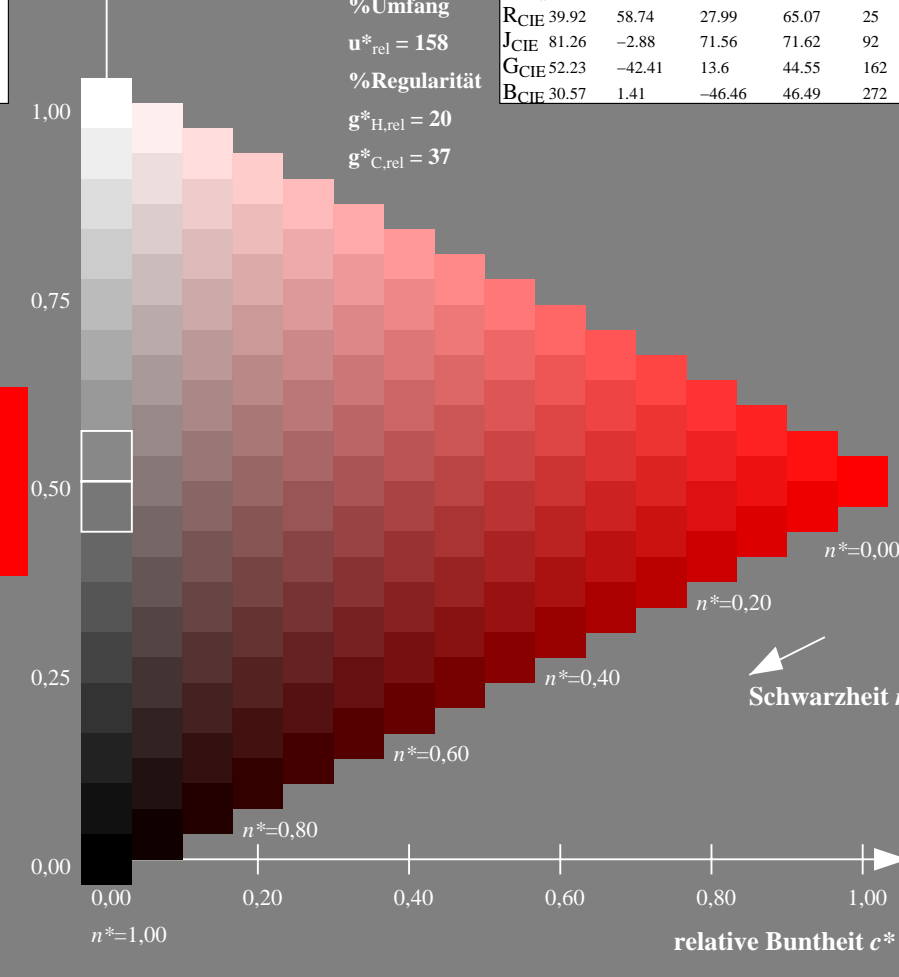
%Umfang

$u^*_{rel} = 158$

%Regularität

$g^*_{H,rel} = 20$

$g^*_{C,rel} = 37$



16-stufige Reihen für konstanten CIELAB Buntton 40/360 = 0.111 (rechts)

Eingabe: Farbmetrisches Fernseh-Licht-System TLS00a

für Buntton $h^* = lab^*h = 103/360 = 0.286$

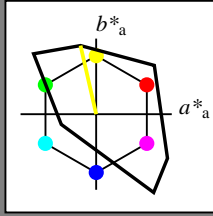
lab^*tch und lab^*nch

D65: Buntton Y

LCH*Ma: 93 93 103

olv*Ma: 1.0 1.0 0.0

Dreiecks-Helligkeit t^*



TLS00a; adaptierte CIELAB-Daten

	$L^*=L^*_a$	a^*_a	b^*_a	$C^*_{ab,a}$	$h^*_{ab,a}$
O _{Ma}	50.5	76.91	64.55	100.41	40
Y _{Ma}	92.66	-20.67	90.75	93.08	103
L _{Ma}	83.62	-82.73	79.9	115.02	136
C _{Ma}	86.88	-46.14	-13.53	48.1	196
V _{Ma}	30.39	76.06	-103.59	128.52	306
M _{Ma}	57.31	94.35	-58.39	110.96	328
N _{Ma}	0.01	0.0	0.0	0.0	0
W _{Ma}	95.41	0.0	0.0	0.0	0
RCIE	39.92	58.74	27.99	65.07	25
JCIE	81.26	-2.88	71.56	71.62	92
GCIE	52.23	-42.41	13.6	44.55	162
BCIE	30.57	1.41	-46.46	46.49	272

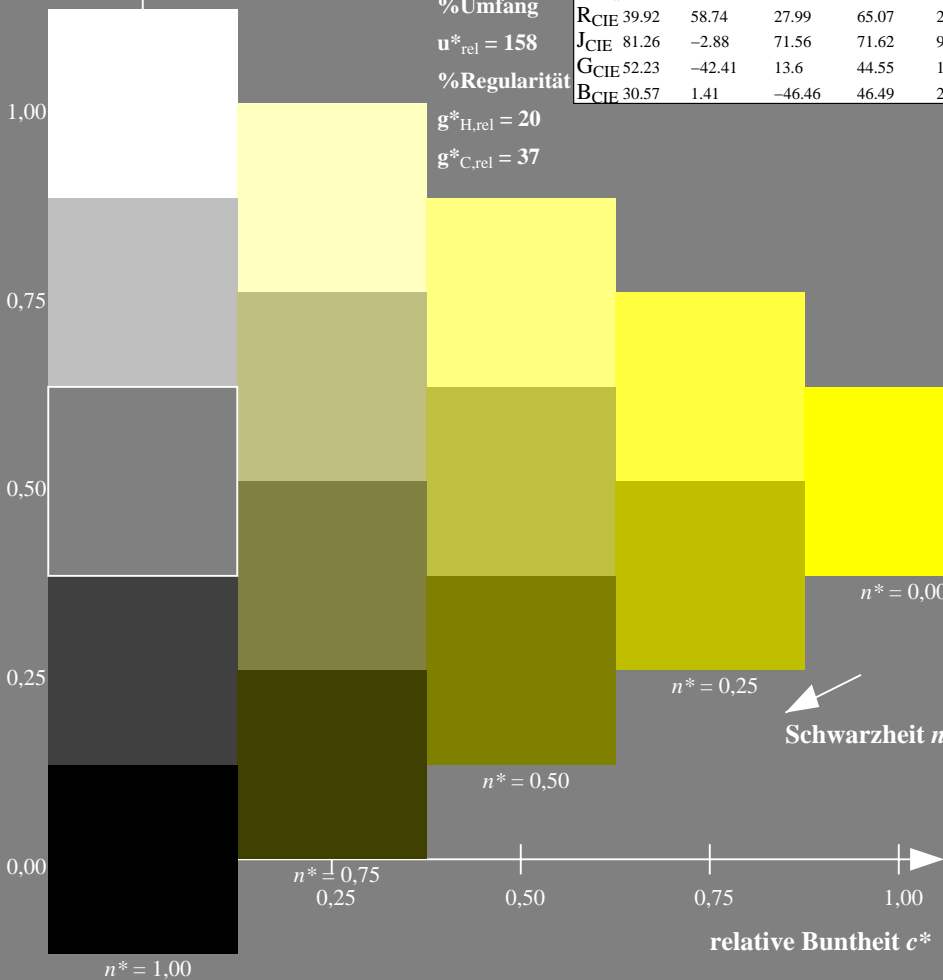
%Umfang

$u^*_{rel} = 158$

%Regularität

$g^*_{H,rel} = 20$

$g^*_{C,rel} = 37$



IG400-7N, 5-stufige Reihen für konstanten CIELAB Buntton 103/360 = 0.286 (links)

Ausgabe: Farbmetrisches Fernseh-Licht-System TLS00a

für Buntton $h^* = lab^*h = 103/360 = 0.286$

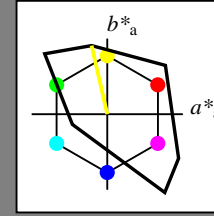
lab^*tch und lab^*nch

D65: Buntton Y

LCH*Ma: 93 93 103

olv*Ma: 1.0 1.0 0.0

Dreiecks-Helligkeit t^*



TLS00a; adaptierte CIELAB-Daten

	$L^*=L^*_a$	a^*_a	b^*_a	$C^*_{ab,a}$	$h^*_{ab,a}$
O _{Ma}	50.5	76.91	64.55	100.41	40
Y _{Ma}	92.66	-20.67	90.75	93.08	103
L _{Ma}	83.62	-82.73	79.9	115.02	136
C _{Ma}	86.88	-46.14	-13.53	48.1	196
V _{Ma}	30.39	76.06	-103.59	128.52	306
M _{Ma}	57.31	94.35	-58.39	110.96	328
N _{Ma}	0.01	0.0	0.0	0.0	0
W _{Ma}	95.41	0.0	0.0	0.0	0
RCIE	39.92	58.74	27.99	65.07	25
JCIE	81.26	-2.88	71.56	71.62	92
GCIE	52.23	-42.41	13.6	44.55	162
BCIE	30.57	1.41	-46.46	46.49	272

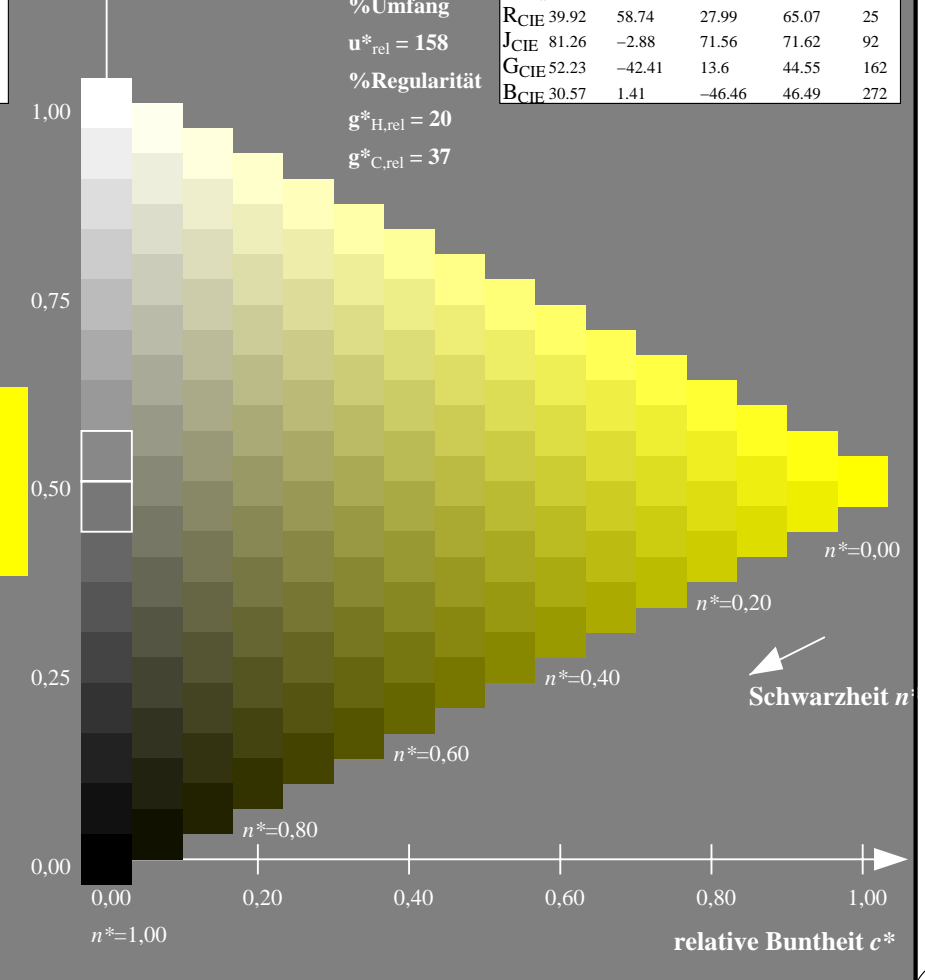
%Umfang

$u^*_{rel} = 158$

%Regularität

$g^*_{H,rel} = 20$

$g^*_{C,rel} = 37$



16-stufige Reihen für konstanten CIELAB Buntton 103/360 = 0.286 (rechts)

Eingabe: Farbmetrisches Fernseh-Licht-System TLS00a

für Buntton $h^* = lab^*h = 136/360 = 0.378$

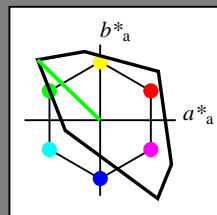
lab^*tch und lab^*nch

D65: Buntton L

LCH*Ma: 84 115 136

olv*Ma: 0.0 1.0 0.0

Dreiecks-Helligkeit t^*



TLS00a; adaptierte CIELAB-Daten

	$L^*=L^*_a$	a^*_a	b^*_a	$C^*_{ab,a}$	$h^*_{ab,a}$
O _{Ma}	50.5	76.91	64.55	100.41	40
Y _{Ma}	92.66	-20.67	90.75	93.08	103
L _{Ma}	83.62	-82.73	79.9	115.02	136
C _{Ma}	86.88	-46.14	-13.53	48.1	196
V _{Ma}	30.39	76.06	-103.59	128.52	306
M _{Ma}	57.31	94.35	-58.39	110.96	328
N _{Ma}	0.01	0.0	0.0	0.0	0
W _{Ma}	95.41	0.0	0.0	0.0	0
RCIE	39.92	58.74	27.99	65.07	25
JCIE	81.26	-2.88	71.56	71.62	92
GCIE	52.23	-42.41	13.6	44.55	162
BCIE	30.57	1.41	-46.46	46.49	272

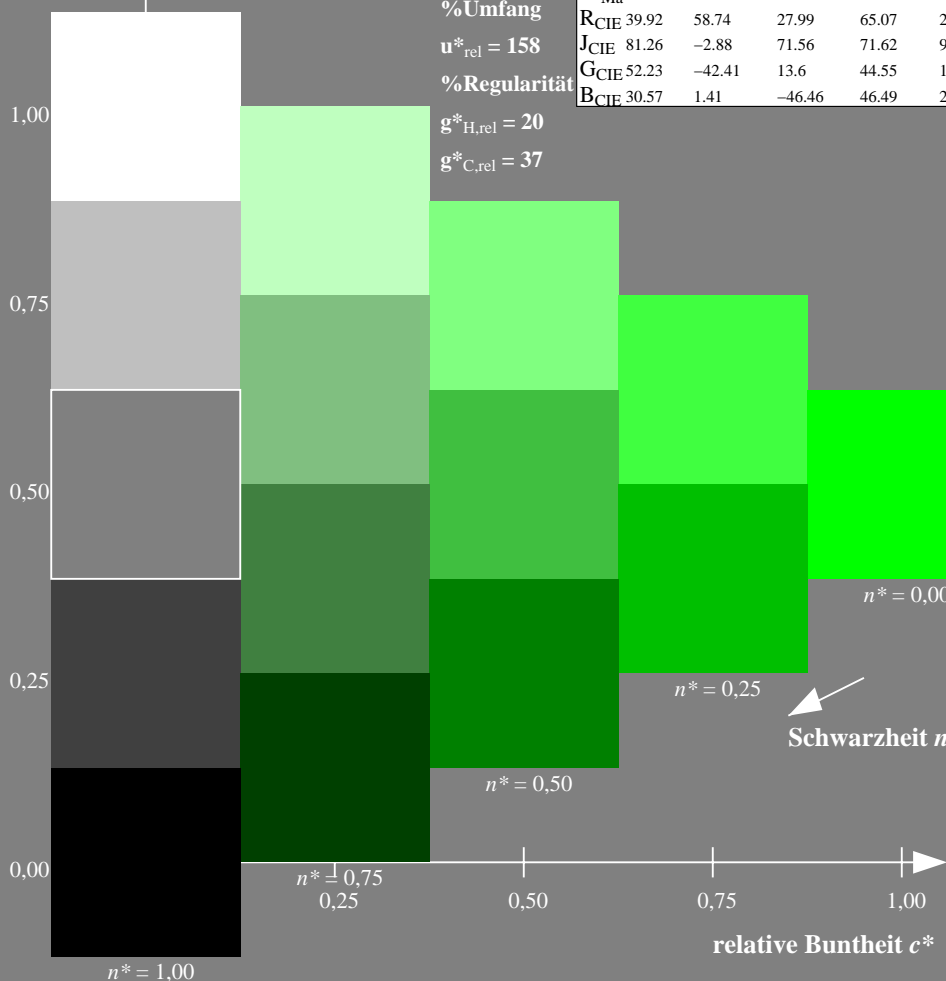
%Umfang

$u^*_{rel} = 158$

%Regularität

$g^*_{H,rel} = 20$

$g^*_{C,rel} = 37$



IG400-7N, 5-stufige Reihen für konstanten CIELAB Buntton 136/360 = 0.378 (links)

Ausgabe: Farbmetrisches Fernseh-Licht-System TLS00a

für Buntton $h^* = lab^*h = 136/360 = 0.378$

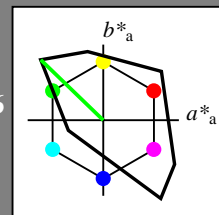
lab^*tch und lab^*nch

D65: Buntton L

LCH*Ma: 84 115 136

olv*Ma: 0.0 1.0 0.0

Dreiecks-Helligkeit t^*



TLS00a; adaptierte CIELAB-Daten

	$L^*=L^*_a$	a^*_a	b^*_a	$C^*_{ab,a}$	$h^*_{ab,a}$
O _{Ma}	50.5	76.91	64.55	100.41	40
Y _{Ma}	92.66	-20.67	90.75	93.08	103
L _{Ma}	83.62	-82.73	79.9	115.02	136
C _{Ma}	86.88	-46.14	-13.53	48.1	196
V _{Ma}	30.39	76.06	-103.59	128.52	306
M _{Ma}	57.31	94.35	-58.39	110.96	328
N _{Ma}	0.01	0.0	0.0	0.0	0
W _{Ma}	95.41	0.0	0.0	0.0	0
RCIE	39.92	58.74	27.99	65.07	25
JCIE	81.26	-2.88	71.56	71.62	92
GCIE	52.23	-42.41	13.6	44.55	162
BCIE	30.57	1.41	-46.46	46.49	272

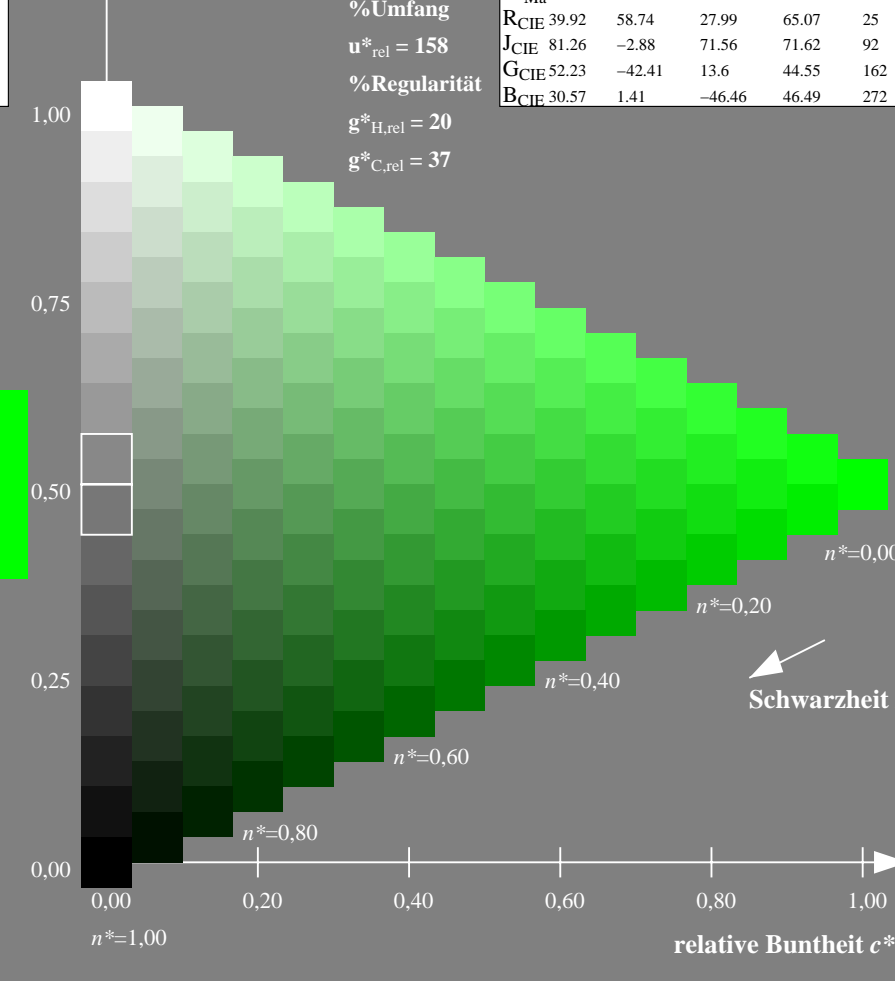
%Umfang

$u^*_{rel} = 158$

%Regularität

$g^*_{H,rel} = 20$

$g^*_{C,rel} = 37$



16-stufige Reihen für konstanten CIELAB Buntton 136/360 = 0.378 (rechts)

Eingabe: Farbmetrisches Fernseh-Licht-System TLS00a

für Buntton $h^* = lab^*h = 196/360 = 0.545$

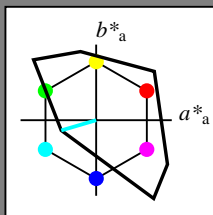
lab^*tch und lab^*nch

D65: Buntton C

LCH*Ma: 87 48 196

olv*Ma: 0.0 1.0 1.0

Dreiecks-Helligkeit t^*



TLS00a; adaptierte CIELAB-Daten

	$L^*=L^*_a$	a^*_a	b^*_a	$C^*_{ab,a}$	$h^*_{ab,a}$
O _{Ma}	50.5	76.91	64.55	100.41	40
Y _{Ma}	92.66	-20.67	90.75	93.08	103
L _{Ma}	83.62	-82.73	79.9	115.02	136
C _{Ma}	86.88	-46.14	-13.53	48.1	196
V _{Ma}	30.39	76.06	-103.59	128.52	306
M _{Ma}	57.31	94.35	-58.39	110.96	328
N _{Ma}	0.01	0.0	0.0	0.0	0
W _{Ma}	95.41	0.0	0.0	0.0	0
RCIE	39.92	58.74	27.99	65.07	25
JCIE	81.26	-2.88	71.56	71.62	92
GCIE	52.23	-42.41	13.6	44.55	162
BCIE	30.57	1.41	-46.46	46.49	272

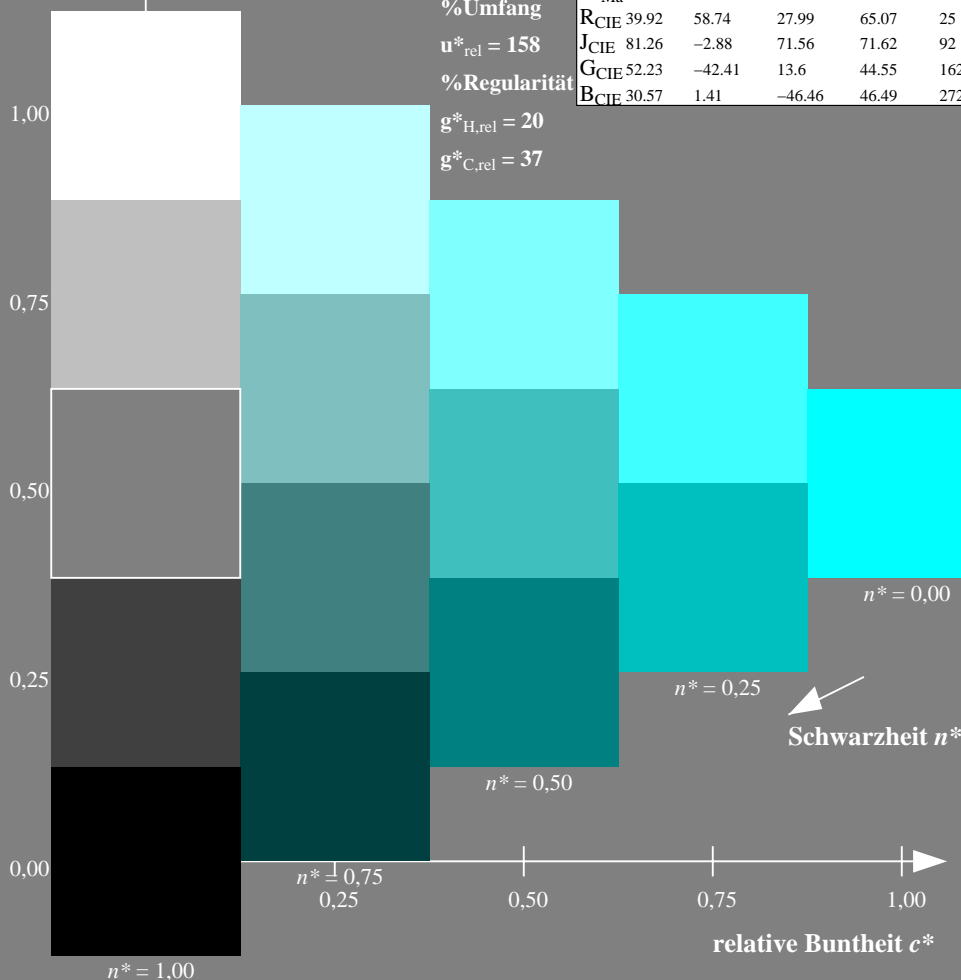
%Umfang

$u^*_{rel} = 158$

%Regularität

$g^*_{H,rel} = 20$

$g^*_{C,rel} = 37$



IG400-7N, 5-stufige Reihen für konstanten CIELAB Buntton 196/360 = 0.545 (links)

Ausgabe: Farbmetrisches Fernseh-Licht-System TLS00a

für Buntton $h^* = lab^*h = 196/360 = 0.545$

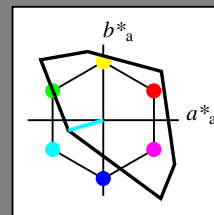
lab^*tch und lab^*nch

D65: Buntton C

LCH*Ma: 87 48 196

olv*Ma: 0.0 1.0 1.0

Dreiecks-Helligkeit t^*



TLS00a; adaptierte CIELAB-Daten

	$L^*=L^*_a$	a^*_a	b^*_a	$C^*_{ab,a}$	$h^*_{ab,a}$
O _{Ma}	50.5	76.91	64.55	100.41	40
Y _{Ma}	92.66	-20.67	90.75	93.08	103
L _{Ma}	83.62	-82.73	79.9	115.02	136
C _{Ma}	86.88	-46.14	-13.53	48.1	196
V _{Ma}	30.39	76.06	-103.59	128.52	306
M _{Ma}	57.31	94.35	-58.39	110.96	328
N _{Ma}	0.01	0.0	0.0	0.0	0
W _{Ma}	95.41	0.0	0.0	0.0	0
RCIE	39.92	58.74	27.99	65.07	25
JCIE	81.26	-2.88	71.56	71.62	92
GCIE	52.23	-42.41	13.6	44.55	162
BCIE	30.57	1.41	-46.46	46.49	272

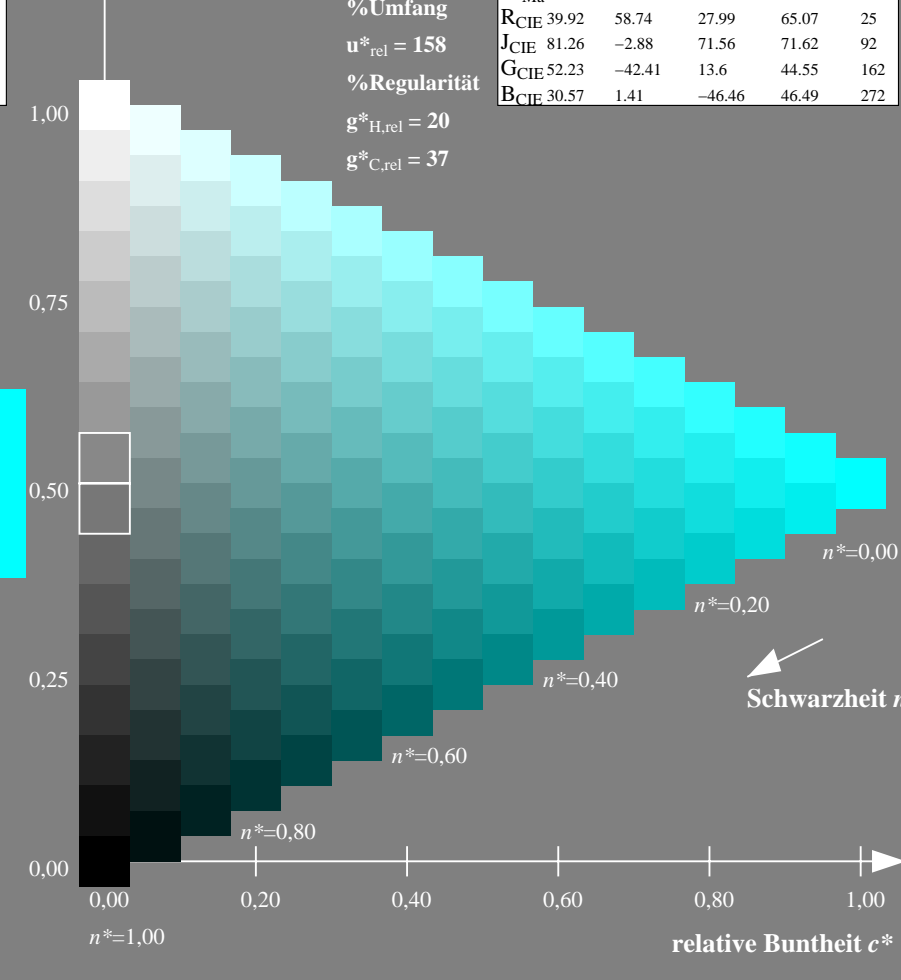
%Umfang

$u^*_{rel} = 158$

%Regularität

$g^*_{H,rel} = 20$

$g^*_{C,rel} = 37$



16-stufige Reihen für konstanten CIELAB Buntton 196/360 = 0.545 (rechts)

Eingabe: Farbmetrisches Fernseh-Licht-System TLS00a

für Buntton $h^* = lab^*h = 306/360 = 0.851$

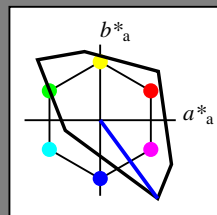
lab^*tch und lab^*nch

D65: Buntton V

LCH*Ma: 30 129 306

olv*Ma: 0.0 0.0 1.0

Dreiecks-Helligkeit t^*



TLS00a; adaptierte CIELAB-Daten

	$L^*=L^*_a$	a^*_a	b^*_a	$C^*_{ab,a}$	$h^*_{ab,a}$
O _{Ma}	50.5	76.91	64.55	100.41	40
Y _{Ma}	92.66	-20.67	90.75	93.08	103
L _{Ma}	83.62	-82.73	79.9	115.02	136
C _{Ma}	86.88	-46.14	-13.53	48.1	196
V _{Ma}	30.39	76.06	-103.59	128.52	306
M _{Ma}	57.31	94.35	-58.39	110.96	328
N _{Ma}	0.01	0.0	0.0	0.0	0
W _{Ma}	95.41	0.0	0.0	0.0	0
RCIE	39.92	58.74	27.99	65.07	25
JCIE	81.26	-2.88	71.56	71.62	92
GCIE	52.23	-42.41	13.6	44.55	162
BCIE	30.57	1.41	-46.46	46.49	272

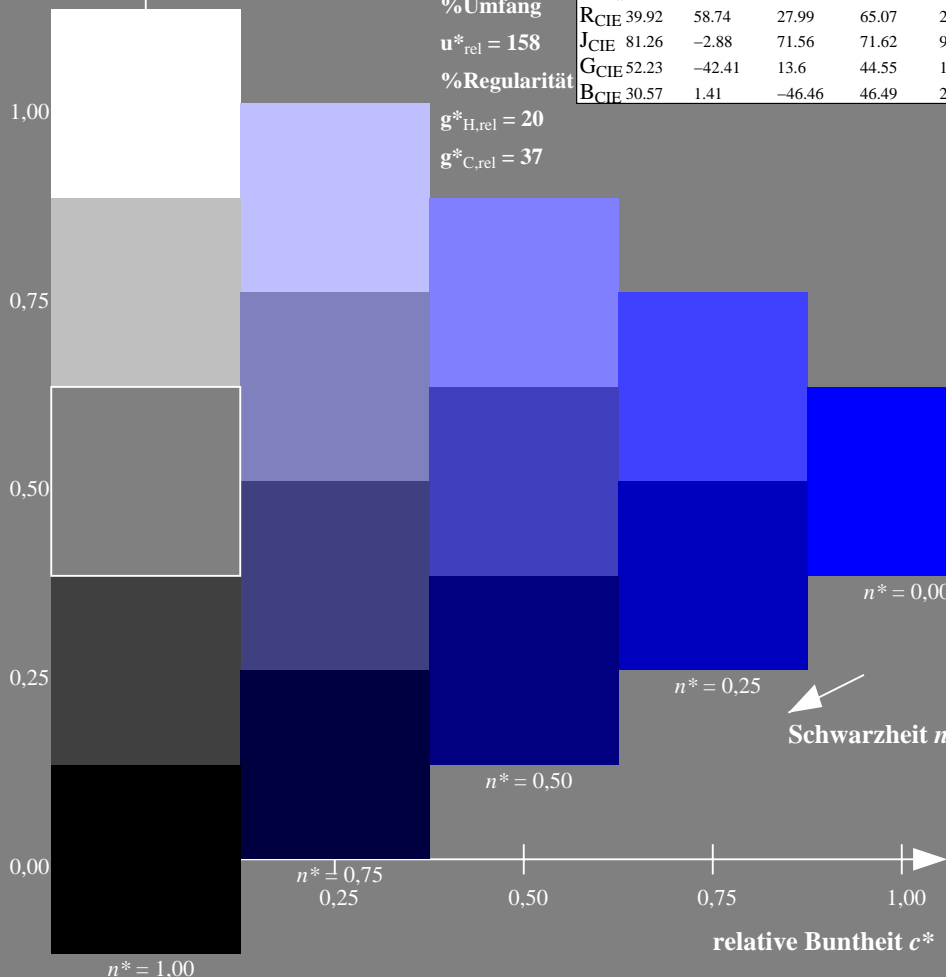
%Umfang

$u^*_{rel} = 158$

%Regularität

$g^*_{H,rel} = 20$

$g^*_{C,rel} = 37$



IG400-7N, 5-stufige Reihen für konstanten CIELAB Buntton 306/360 = 0.851 (links)

Ausgabe: Farbmetrisches Fernseh-Licht-System TLS00a

für Buntton $h^* = lab^*h = 306/360 = 0.851$

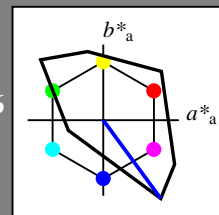
lab^*tch und lab^*nch

D65: Buntton V

LCH*Ma: 30 129 306

olv*Ma: 0.0 0.0 1.0

Dreiecks-Helligkeit t^*



TLS00a; adaptierte CIELAB-Daten

	$L^*=L^*_a$	a^*_a	b^*_a	$C^*_{ab,a}$	$h^*_{ab,a}$
O _{Ma}	50.5	76.91	64.55	100.41	40
Y _{Ma}	92.66	-20.67	90.75	93.08	103
L _{Ma}	83.62	-82.73	79.9	115.02	136
C _{Ma}	86.88	-46.14	-13.53	48.1	196
V _{Ma}	30.39	76.06	-103.59	128.52	306
M _{Ma}	57.31	94.35	-58.39	110.96	328
N _{Ma}	0.01	0.0	0.0	0.0	0
W _{Ma}	95.41	0.0	0.0	0.0	0
RCIE	39.92	58.74	27.99	65.07	25
JCIE	81.26	-2.88	71.56	71.62	92
GCIE	52.23	-42.41	13.6	44.55	162
BCIE	30.57	1.41	-46.46	46.49	272

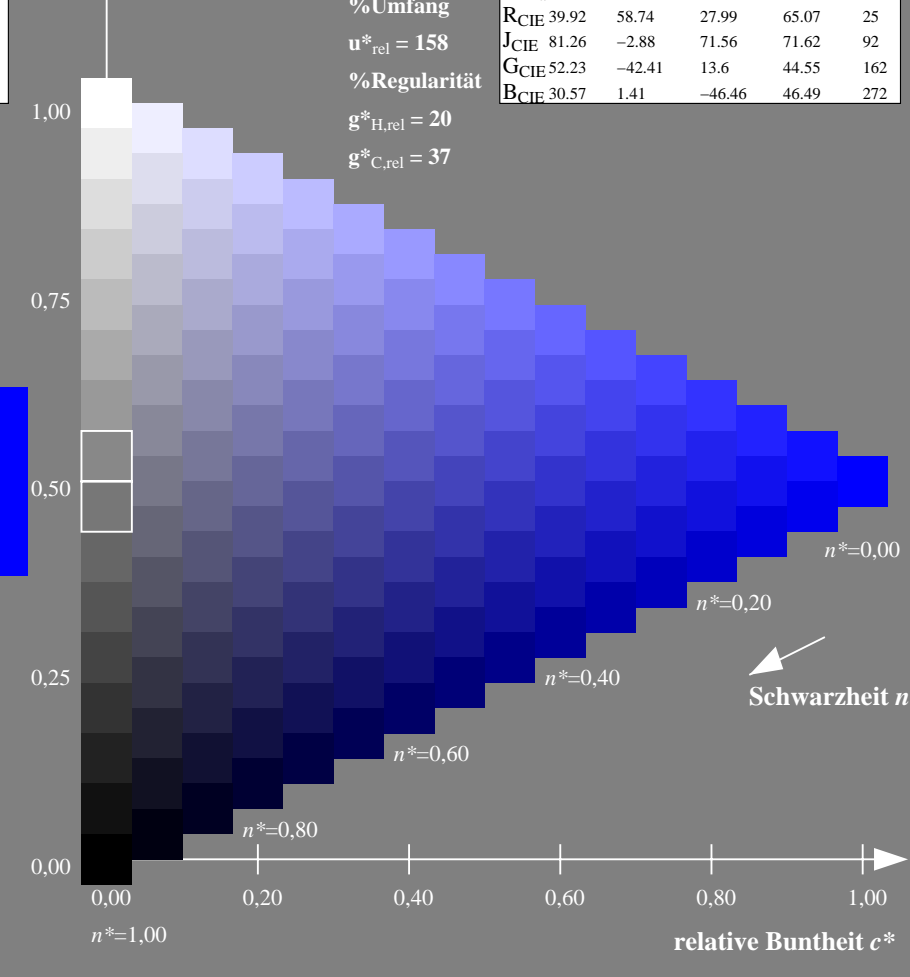
%Umfang

$u^*_{rel} = 158$

%Regularität

$g^*_{H,rel} = 20$

$g^*_{C,rel} = 37$



16-stufige Reihen für konstanten CIELAB Buntton 306/360 = 0.851 (rechts)

Eingabe: Farbmetrisches Fernseh-Licht-System TLS00a

für Buntton $h^* = lab^*h = 328/360 = 0.912$

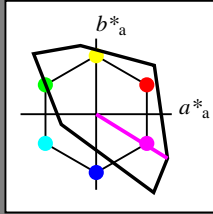
lab^*tch und lab^*nch

D65: Buntton M

LCH*Ma: 57 111 328

olv*Ma: 1.0 0.0 1.0

Dreiecks-Helligkeit t^*



TLS00a; adaptierte CIELAB-Daten

	$L^*=L^*_a$	a^*_a	b^*_a	$C^*_{ab,a}$	$h^*_{ab,a}$
O _{Ma}	50.5	76.91	64.55	100.41	40
Y _{Ma}	92.66	-20.67	90.75	93.08	103
L _{Ma}	83.62	-82.73	79.9	115.02	136
C _{Ma}	86.88	-46.14	-13.53	48.1	196
V _{Ma}	30.39	76.06	-103.59	128.52	306
M _{Ma}	57.31	94.35	-58.39	110.96	328
N _{Ma}	0.01	0.0	0.0	0.0	0
W _{Ma}	95.41	0.0	0.0	0.0	0
RCIE	39.92	58.74	27.99	65.07	25
JCIE	81.26	-2.88	71.56	71.62	92
GCIE	52.23	-42.41	13.6	44.55	162
BCIE	30.57	1.41	-46.46	46.49	272

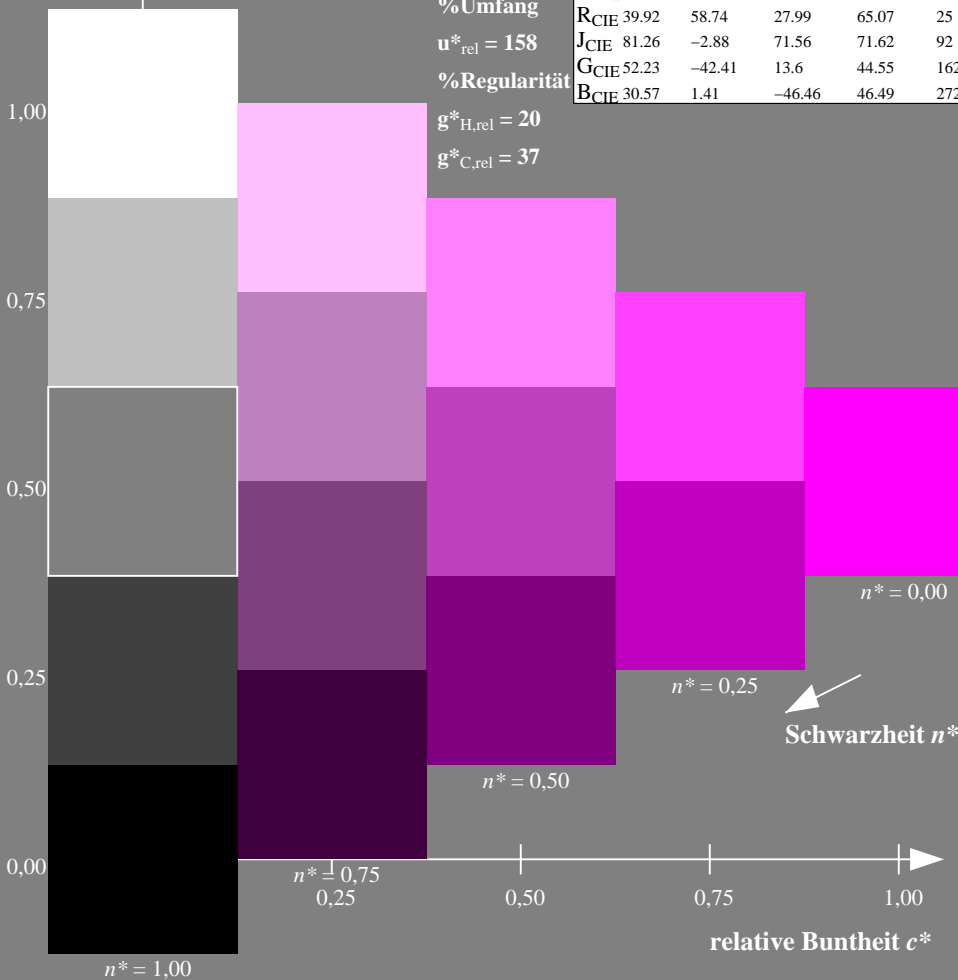
%Umfang

$u^*_{rel} = 158$

%Regularität

$g^*_{H,rel} = 20$

$g^*_{C,rel} = 37$



IG400-7N, 5-stufige Reihen für konstanten CIELAB Buntton 328/360 = 0.912 (links)

Ausgabe: Farbmetrisches Fernseh-Licht-System TLS00a

für Buntton $h^* = lab^*h = 328/360 = 0.912$

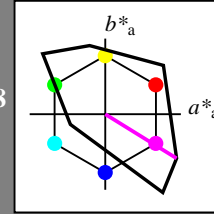
lab^*tch und lab^*nch

D65: Buntton M

LCH*Ma: 57 111 328

olv*Ma: 1.0 0.0 1.0

Dreiecks-Helligkeit t^*



TLS00a; adaptierte CIELAB-Daten

	$L^*=L^*_a$	a^*_a	b^*_a	$C^*_{ab,a}$	$h^*_{ab,a}$
O _{Ma}	50.5	76.91	64.55	100.41	40
Y _{Ma}	92.66	-20.67	90.75	93.08	103
L _{Ma}	83.62	-82.73	79.9	115.02	136
C _{Ma}	86.88	-46.14	-13.53	48.1	196
V _{Ma}	30.39	76.06	-103.59	128.52	306
M _{Ma}	57.31	94.35	-58.39	110.96	328
N _{Ma}	0.01	0.0	0.0	0.0	0
W _{Ma}	95.41	0.0	0.0	0.0	0
RCIE	39.92	58.74	27.99	65.07	25
JCIE	81.26	-2.88	71.56	71.62	92
GCIE	52.23	-42.41	13.6	44.55	162
BCIE	30.57	1.41	-46.46	46.49	272

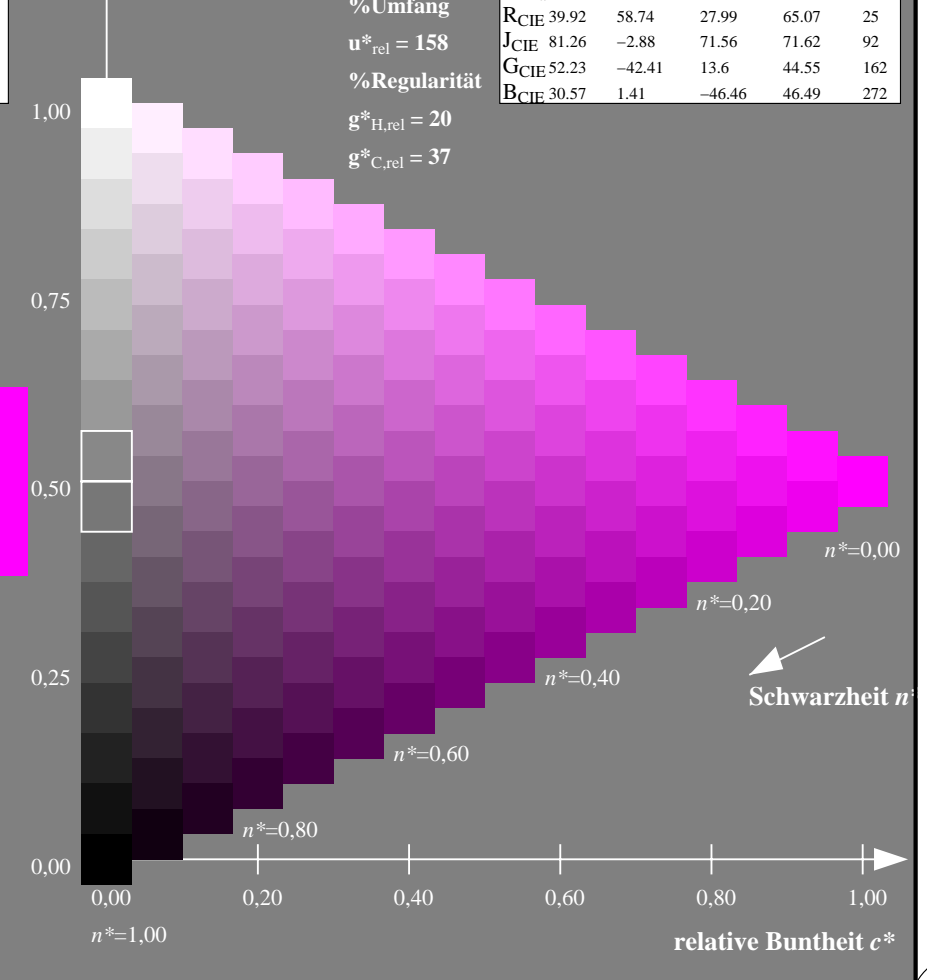
%Umfang

$u^*_{rel} = 158$

%Regularität

$g^*_{H,rel} = 20$

$g^*_{C,rel} = 37$



16-stufige Reihen für konstanten CIELAB Buntton 328/360 = 0.912 (rechts)

Eingabe: Farbmetrisches Fernseh-Licht-System TLS00a

für Buntton $h^* = lab^*h = 25/360 = 0.071$

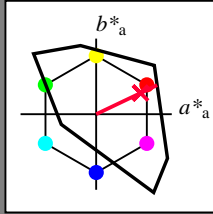
lab^*tch und lab^*nch

D65: Buntton R

LCH*Ma: 52 89 25

olv*Ma: 1.0 0.0 0.21

Dreiecks-Helligkeit t^*



TLS00a; adaptierte CIELAB-Daten

	$L^*=L^*_a$	a^*_a	b^*_a	$C^*_{ab,a}$	$h^*_{ab,a}$
O _{Ma}	50.5	76.91	64.55	100.41	40
Y _{Ma}	92.66	-20.67	90.75	93.08	103
L _{Ma}	83.62	-82.73	79.9	115.02	136
C _{Ma}	86.88	-46.14	-13.53	48.1	196
V _{Ma}	30.39	76.06	-103.59	128.52	306
M _{Ma}	57.31	94.35	-58.39	110.96	328
N _{Ma}	0.01	0.0	0.0	0.0	0
W _{Ma}	95.41	0.0	0.0	0.0	0
RCIE	39.92	58.74	27.99	65.07	25
JCIE	81.26	-2.88	71.56	71.62	92
GCIE	52.23	-42.41	13.6	44.55	162
BCIE	30.57	1.41	-46.46	46.49	272

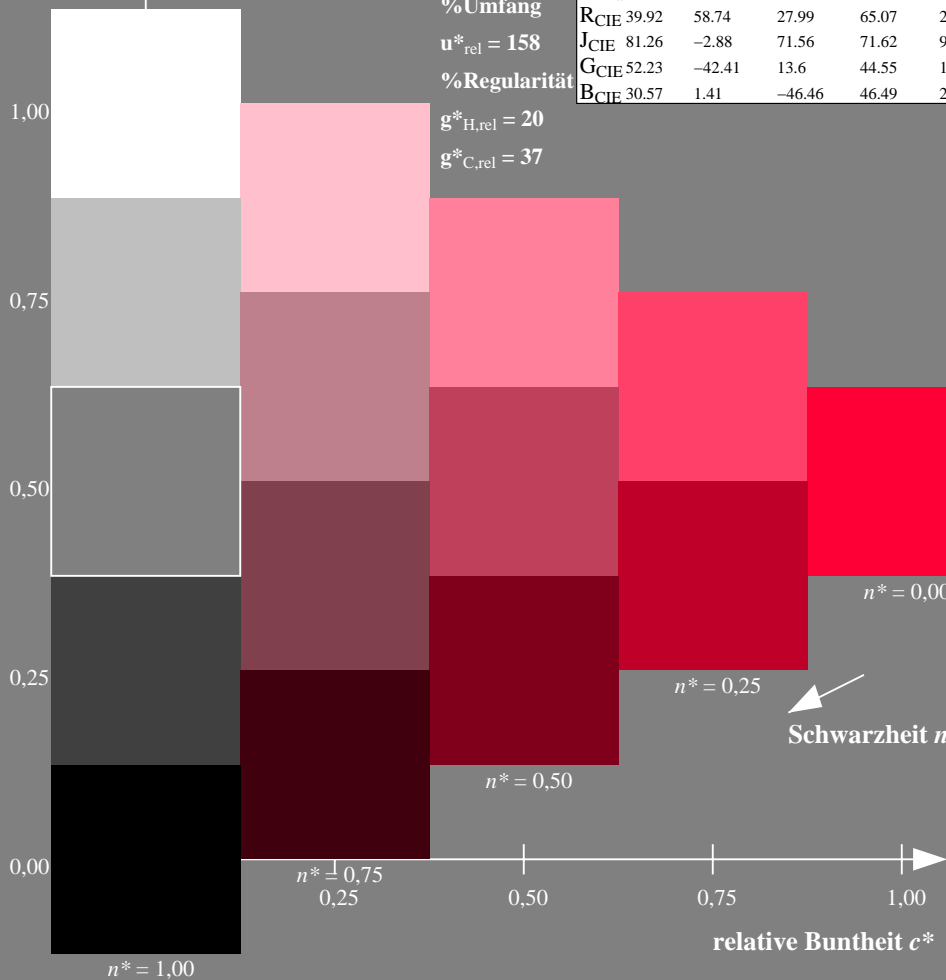
%Umfang

$u^*_{rel} = 158$

%Regularität

$g^*_{H,rel} = 20$

$g^*_{C,rel} = 37$



IG400-7N, 5-stufige Reihen für konstanten CIELAB Buntton 25/360 = 0.071 (links)

Ausgabe: Farbmetrisches Fernseh-Licht-System TLS00a

für Buntton $h^* = lab^*h = 25/360 = 0.071$

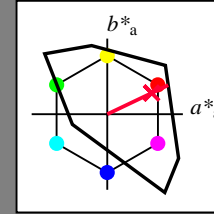
lab^*tch und lab^*nch

D65: Buntton R

LCH*Ma: 52 89 25

olv*Ma: 1.0 0.0 0.21

Dreiecks-Helligkeit t^*



TLS00a; adaptierte CIELAB-Daten

	$L^*=L^*_a$	a^*_a	b^*_a	$C^*_{ab,a}$	$h^*_{ab,a}$
O _{Ma}	50.5	76.91	64.55	100.41	40
Y _{Ma}	92.66	-20.67	90.75	93.08	103
L _{Ma}	83.62	-82.73	79.9	115.02	136
C _{Ma}	86.88	-46.14	-13.53	48.1	196
V _{Ma}	30.39	76.06	-103.59	128.52	306
M _{Ma}	57.31	94.35	-58.39	110.96	328
N _{Ma}	0.01	0.0	0.0	0.0	0
W _{Ma}	95.41	0.0	0.0	0.0	0
RCIE	39.92	58.74	27.99	65.07	25
JCIE	81.26	-2.88	71.56	71.62	92
GCIE	52.23	-42.41	13.6	44.55	162
BCIE	30.57	1.41	-46.46	46.49	272

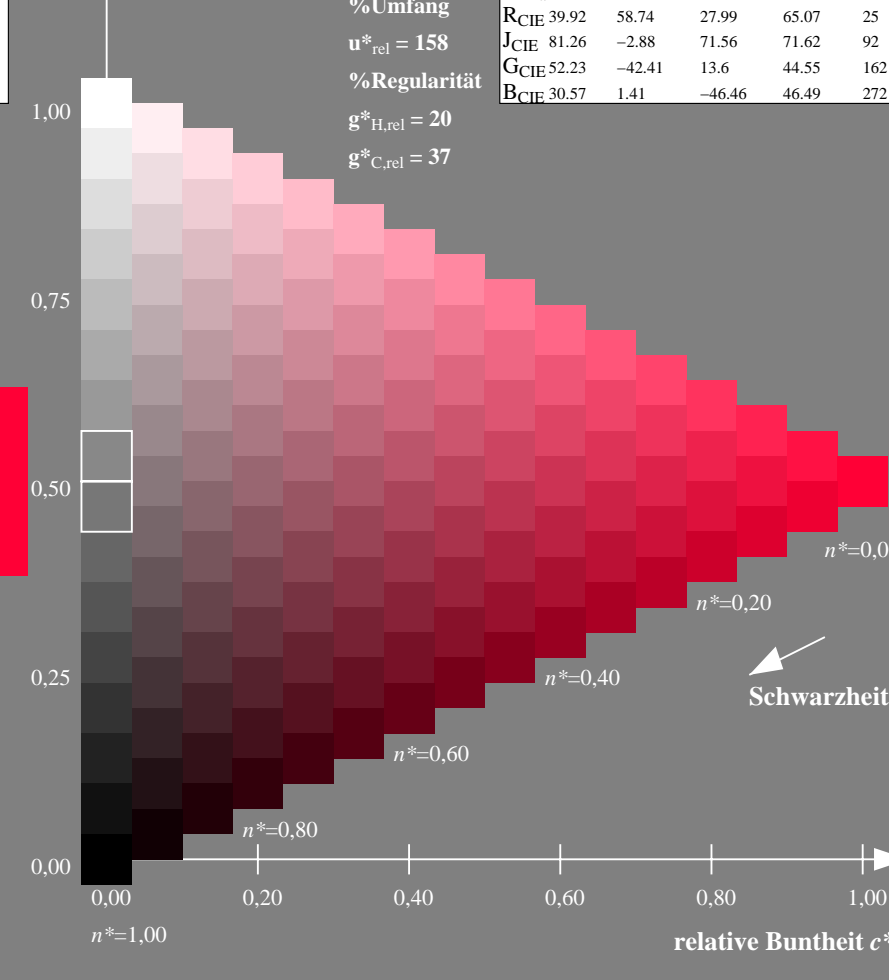
%Umfang

$u^*_{rel} = 158$

%Regularität

$g^*_{H,rel} = 20$

$g^*_{C,rel} = 37$



16-stufige Reihen für konstanten CIELAB Buntton 25/360 = 0.071 (rechts)

Eingabe: Farbmetrisches Fernseh-Licht-System TLS00a

für Buntton $h^* = lab^*h = 92/360 = 0.256$

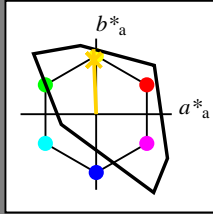
lab^*tch und lab^*nch

D65: Buntton J

LCH*Ma: 85 86 92

olv*Ma: 1.0 0.82 0.0

Dreiecks-Helligkeit t^*



TLS00a; adaptierte CIELAB-Daten

	$L^*=L^*_a$	a^*_a	b^*_a	$C^*_{ab,a}$	$h^*_{ab,a}$
O _{Ma}	50.5	76.91	64.55	100.41	40
Y _{Ma}	92.66	-20.67	90.75	93.08	103
L _{Ma}	83.62	-82.73	79.9	115.02	136
C _{Ma}	86.88	-46.14	-13.53	48.1	196
V _{Ma}	30.39	76.06	-103.59	128.52	306
M _{Ma}	57.31	94.35	-58.39	110.96	328
N _{Ma}	0.01	0.0	0.0	0.0	0
W _{Ma}	95.41	0.0	0.0	0.0	0
RCIE	39.92	58.74	27.99	65.07	25
J _{CIE}	81.26	-2.88	71.56	71.62	92
G _{CIE}	52.23	-42.41	13.6	44.55	162
BCIE	30.57	1.41	-46.46	46.49	272

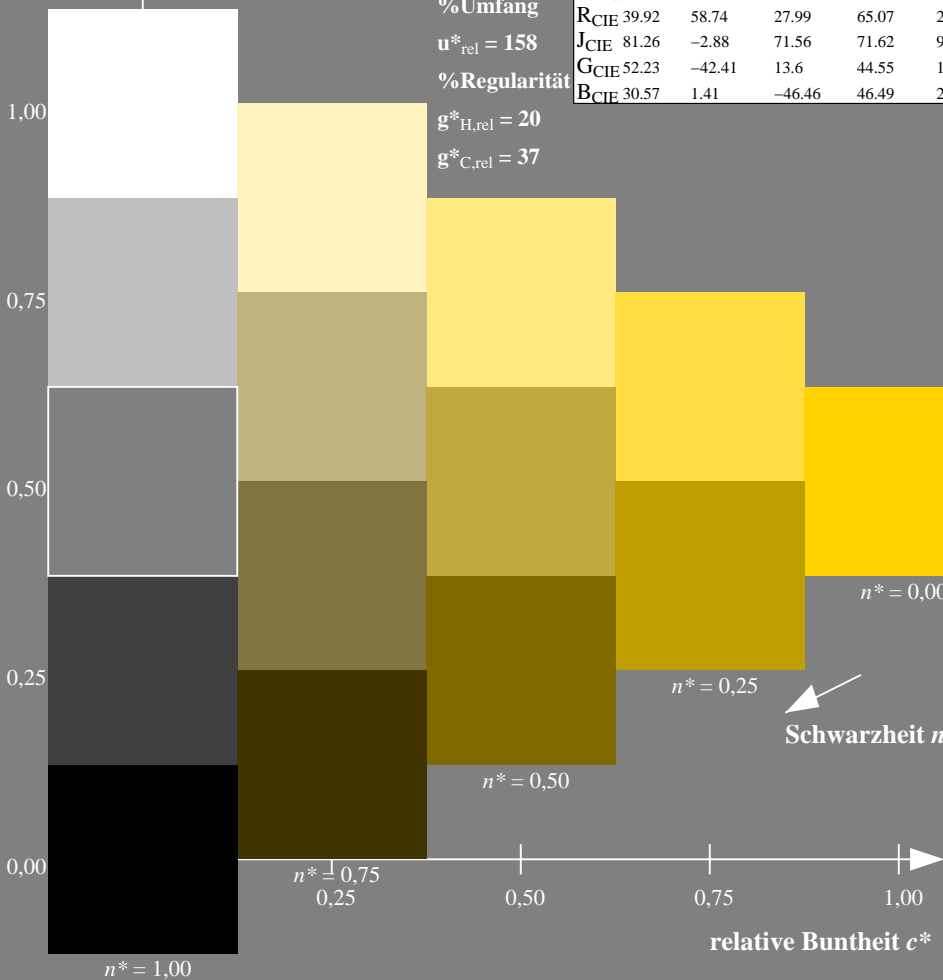
%Umfang

$u^*_{rel} = 158$

%Regularität

$g^*_{H,rel} = 20$

$g^*_{C,rel} = 37$



$n^* = 1,00$

$n^* \perp 0,75$
0,25

$n^* = 0,50$

$n^* = 0,25$

$n^* = 0,00$

Schwarzheit n^*

relative Buntheit c^*

Ausgabe: Farbmetrisches Fernseh-Licht-System TLS00a

für Buntton $h^* = lab^*h = 92/360 = 0.256$

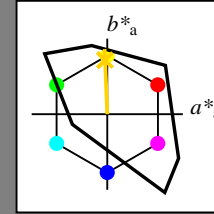
lab^*tch und lab^*nch

D65: Buntton J

LCH*Ma: 85 86 92

olv*Ma: 1.0 0.82 0.0

Dreiecks-Helligkeit t^*



TLS00a; adaptierte CIELAB-Daten

	$L^*=L^*_a$	a^*_a	b^*_a	$C^*_{ab,a}$	$h^*_{ab,a}$
O _{Ma}	50.5	76.91	64.55	100.41	40
Y _{Ma}	92.66	-20.67	90.75	93.08	103
L _{Ma}	83.62	-82.73	79.9	115.02	136
C _{Ma}	86.88	-46.14	-13.53	48.1	196
V _{Ma}	30.39	76.06	-103.59	128.52	306
M _{Ma}	57.31	94.35	-58.39	110.96	328
N _{Ma}	0.01	0.0	0.0	0.0	0
W _{Ma}	95.41	0.0	0.0	0.0	0
RCIE	39.92	58.74	27.99	65.07	25
J _{CIE}	81.26	-2.88	71.56	71.62	92
G _{CIE}	52.23	-42.41	13.6	44.55	162
BCIE	30.57	1.41	-46.46	46.49	272

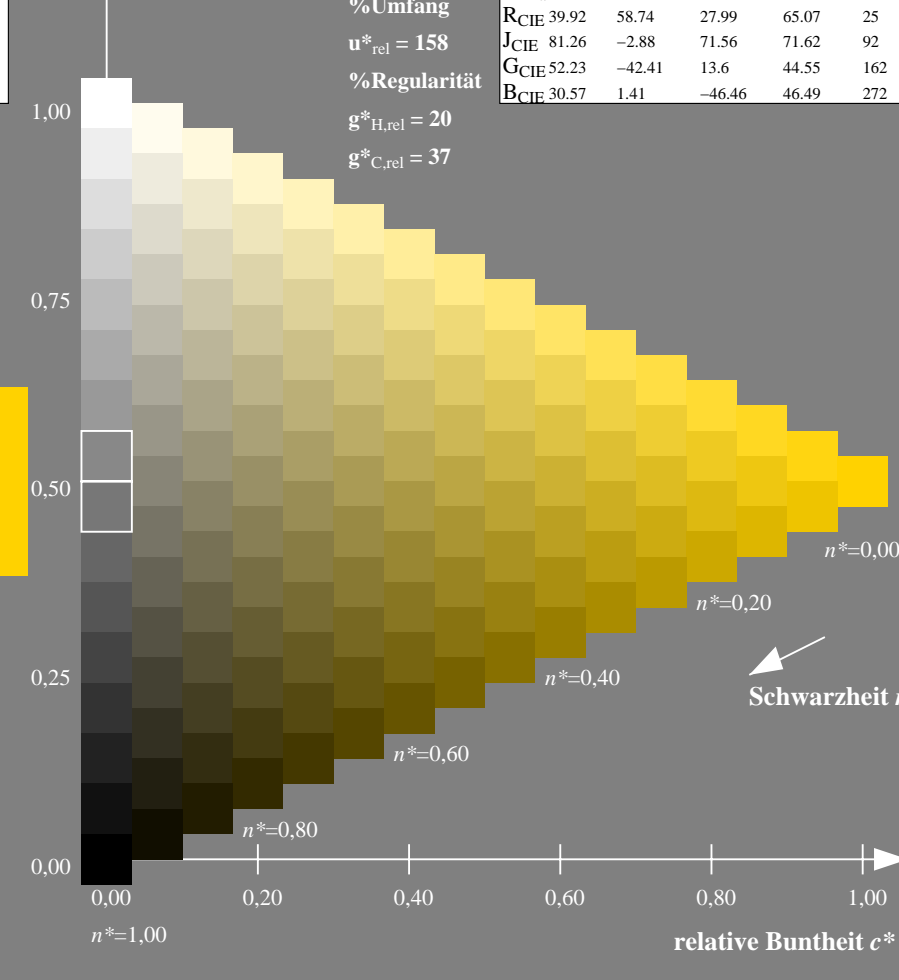
%Umfang

$u^*_{rel} = 158$

%Regularität

$g^*_{H,rel} = 20$

$g^*_{C,rel} = 37$



$n^* = 0,00$

$n^* = 0,20$

$n^* = 0,40$

$n^* = 0,60$

$n^* = 0,80$

$n^* = 1,00$

Schwarzheit n^*

relative Buntheit c^*

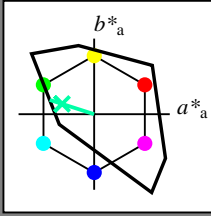
IG400-7N, 5-stufige Reihen für konstanten CIELAB Buntton $92/360 = 0.256$ (links)

16-stufige Reihen für konstanten CIELAB Buntton $92/360 = 0.256$ (rechts)

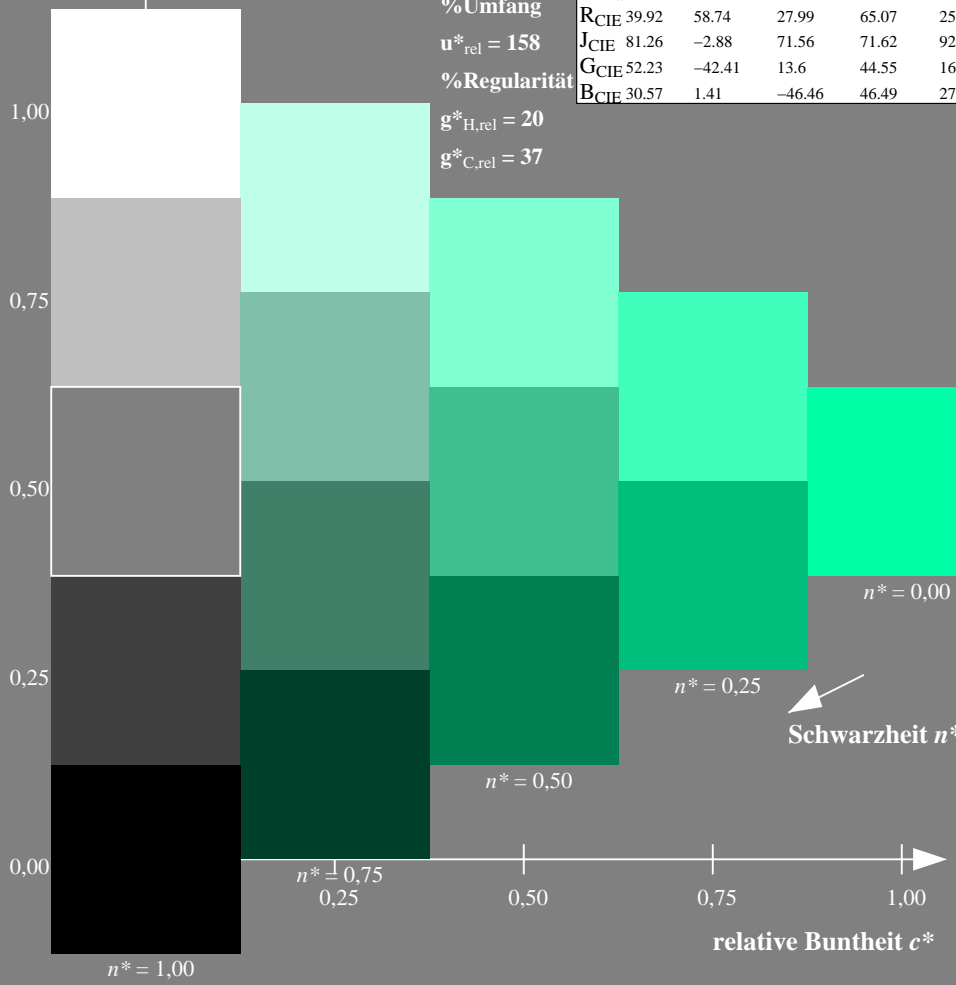
Eingabe: Farbmetrisches Fernseh-Licht-System TLS00a
 für Buntton $h^* = lab^*h = 162/360 = 0.451$
 lab^*tch und lab^*nch
 D65: Buntton G
 LCH*Ma: 86 62 162
 olv*Ma: 0.0 1.0 0.65
 Dreiecks-Helligkeit t^*

TLS00a; adaptierte CIELAB-Daten

	$L^*=L^*_a$	a^*_a	b^*_a	$C^*_{ab,a}$	$h^*_{ab,a}$
O _{Ma}	50.5	76.91	64.55	100.41	40
Y _{Ma}	92.66	-20.67	90.75	93.08	103
L _{Ma}	83.62	-82.73	79.9	115.02	136
C _{Ma}	86.88	-46.14	-13.53	48.1	196
V _{Ma}	30.39	76.06	-103.59	128.52	306
M _{Ma}	57.31	94.35	-58.39	110.96	328
N _{Ma}	0.01	0.0	0.0	0.0	0
W _{Ma}	95.41	0.0	0.0	0.0	0
RCIE	39.92	58.74	27.99	65.07	25
JCIE	81.26	-2.88	71.56	71.62	92
GCIE	52.23	-42.41	13.6	44.55	162
BCIE	30.57	1.41	-46.46	46.49	272



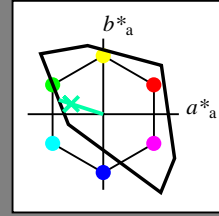
%Umfang
 $u^*_{rel} = 158$
 %Regularität
 $g^*_{H,rel} = 20$
 $g^*_{C,rel} = 37$



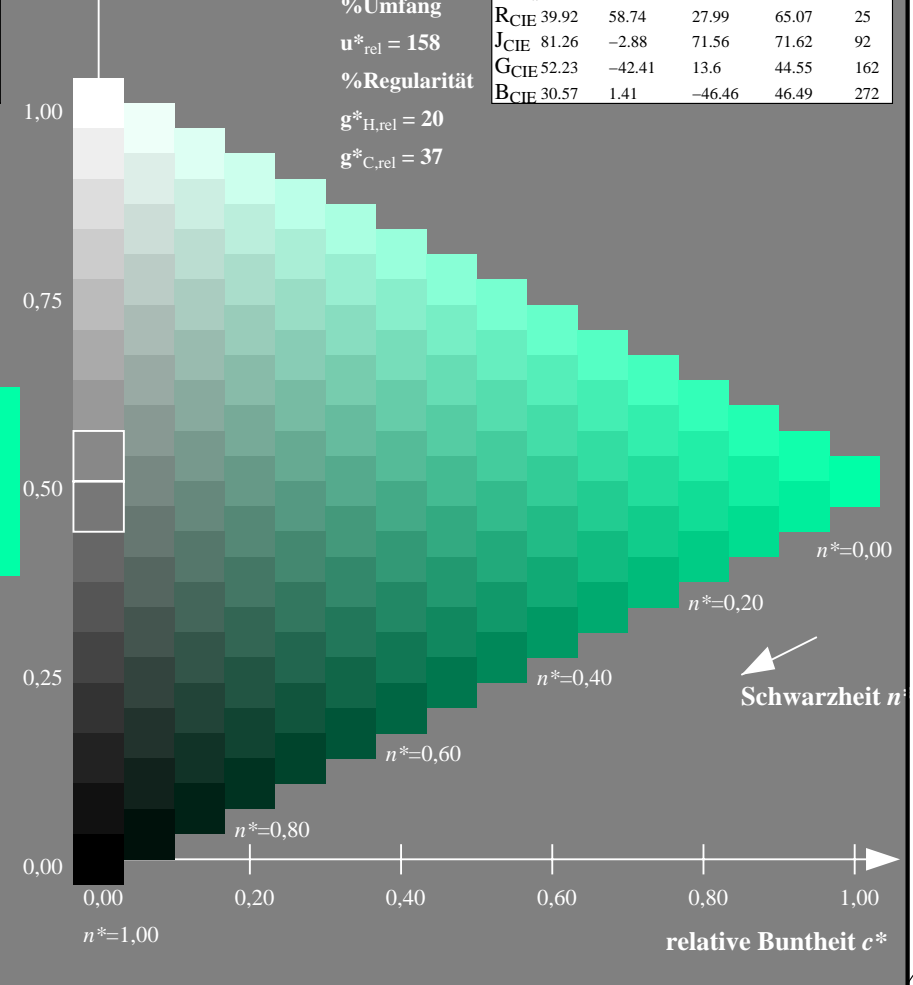
Ausgabe: Farbmetrisches Fernseh-Licht-System TLS00a
 für Buntton $h^* = lab^*h = 162/360 = 0.451$
 lab^*tch und lab^*nch
 D65: Buntton G
 LCH*Ma: 86 62 162
 olv*Ma: 0.0 1.0 0.65
 Dreiecks-Helligkeit t^*

TLS00a; adaptierte CIELAB-Daten

	$L^*=L^*_a$	a^*_a	b^*_a	$C^*_{ab,a}$	$h^*_{ab,a}$
O _{Ma}	50.5	76.91	64.55	100.41	40
Y _{Ma}	92.66	-20.67	90.75	93.08	103
L _{Ma}	83.62	-82.73	79.9	115.02	136
C _{Ma}	86.88	-46.14	-13.53	48.1	196
V _{Ma}	30.39	76.06	-103.59	128.52	306
M _{Ma}	57.31	94.35	-58.39	110.96	328
N _{Ma}	0.01	0.0	0.0	0.0	0
W _{Ma}	95.41	0.0	0.0	0.0	0
RCIE	39.92	58.74	27.99	65.07	25
JCIE	81.26	-2.88	71.56	71.62	92
GCIE	52.23	-42.41	13.6	44.55	162
BCIE	30.57	1.41	-46.46	46.49	272



%Umfang
 $u^*_{rel} = 158$
 %Regularität
 $g^*_{H,rel} = 20$
 $g^*_{C,rel} = 37$



IG400-7N, 5-stufige Reihen für konstanten CIELAB Buntton 162/360 = 0.451 (links)

16-stufige Reihen für konstanten CIELAB Buntton 162/360 = 0.451 (rechts)

Siehe Original/Kopie: http://web.me.com/klaus.richter/IG40/IG40L0NP.PDF /.PS
 Technische Information: http://www.ps.bam.de oder http://130.149.60.45/~farbmetrik

TUB-Registrierung: 20090901-IG40/IG40L0NP.PDF /.PS
 Anwendung für Ausgabe von visuellen Display-Systemen

TUB-Material: Code=rh4ta

Eingabe: Farbmetrisches Fernseh-Licht-System TLS00a

für Buntton $h^* = lab^*h = 272/360 = 0.755$

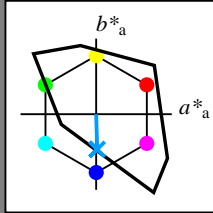
lab^*tch und lab^*nch

D65: Buntton B

LCH*Ma: 65 49 272

olv*Ma: 0.0 0.61 1.0

Dreiecks-Helligkeit t^*



TLS00a; adaptierte CIELAB-Daten

	$L^*=L^*_a$	a^*_a	b^*_a	$C^*_{ab,a}$	$h^*_{ab,a}$
O _{Ma}	50.5	76.91	64.55	100.41	40
Y _{Ma}	92.66	-20.67	90.75	93.08	103
L _{Ma}	83.62	-82.73	79.9	115.02	136
C _{Ma}	86.88	-46.14	-13.53	48.1	196
V _{Ma}	30.39	76.06	-103.59	128.52	306
M _{Ma}	57.31	94.35	-58.39	110.96	328
N _{Ma}	0.01	0.0	0.0	0.0	0
W _{Ma}	95.41	0.0	0.0	0.0	0
RCIE	39.92	58.74	27.99	65.07	25
JCIE	81.26	-2.88	71.56	71.62	92
GCIE	52.23	-42.41	13.6	44.55	162
BCIE	30.57	1.41	-46.46	46.49	272

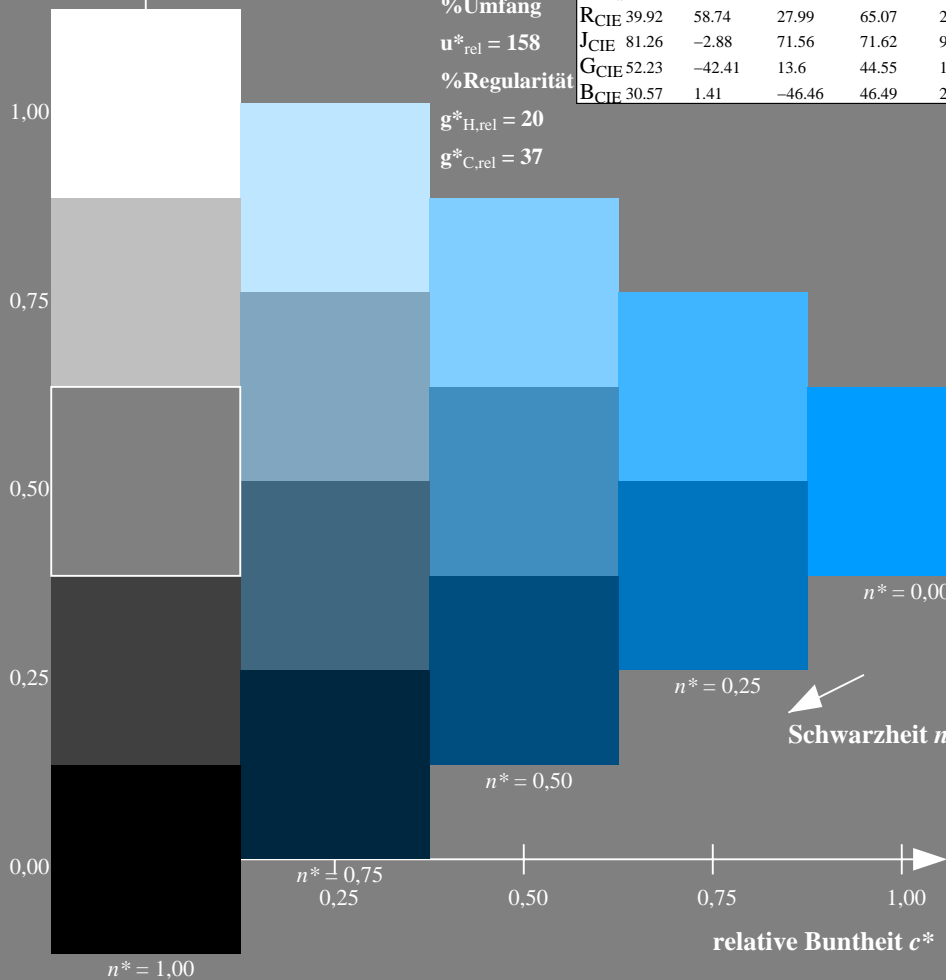
%Umfang

$u^*_{rel} = 158$

%Regularität

$g^*_{H,rel} = 20$

$g^*_{C,rel} = 37$



IG400-7N, 5-stufige Reihen für konstanten CIELAB Buntton 272/360 = 0.755 (links)

Ausgabe: Farbmetrisches Fernseh-Licht-System TLS00a

für Buntton $h^* = lab^*h = 272/360 = 0.755$

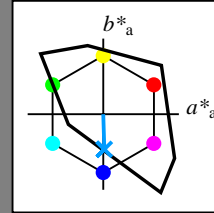
lab^*tch und lab^*nch

D65: Buntton B

LCH*Ma: 65 49 272

olv*Ma: 0.0 0.61 1.0

Dreiecks-Helligkeit t^*



TLS00a; adaptierte CIELAB-Daten

	$L^*=L^*_a$	a^*_a	b^*_a	$C^*_{ab,a}$	$h^*_{ab,a}$
O _{Ma}	50.5	76.91	64.55	100.41	40
Y _{Ma}	92.66	-20.67	90.75	93.08	103
L _{Ma}	83.62	-82.73	79.9	115.02	136
C _{Ma}	86.88	-46.14	-13.53	48.1	196
V _{Ma}	30.39	76.06	-103.59	128.52	306
M _{Ma}	57.31	94.35	-58.39	110.96	328
N _{Ma}	0.01	0.0	0.0	0.0	0
W _{Ma}	95.41	0.0	0.0	0.0	0
RCIE	39.92	58.74	27.99	65.07	25
JCIE	81.26	-2.88	71.56	71.62	92
GCIE	52.23	-42.41	13.6	44.55	162
BCIE	30.57	1.41	-46.46	46.49	272

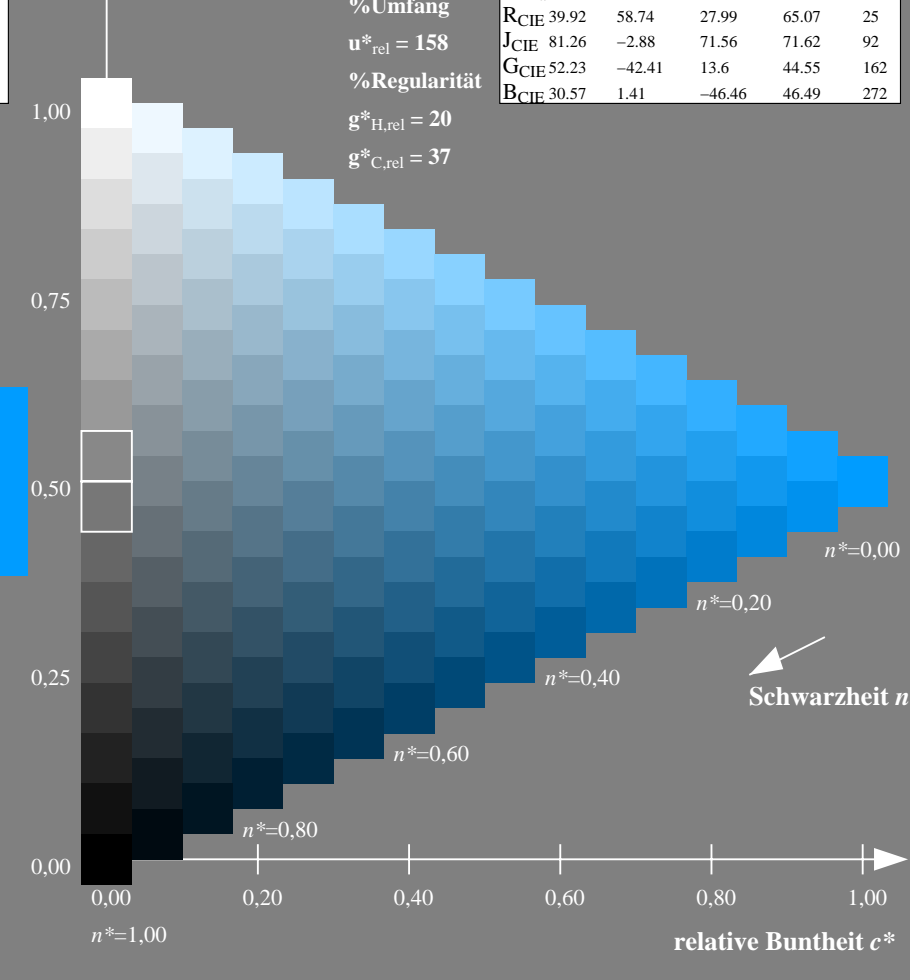
%Umfang

$u^*_{rel} = 158$

%Regularität

$g^*_{H,rel} = 20$

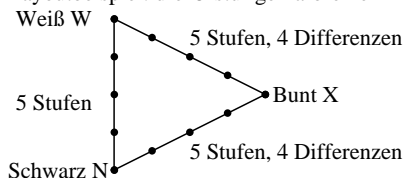
$g^*_{C,rel} = 37$



16-stufige Reihen für konstanten CIELAB Buntton 272/360 = 0.755 (rechts)

Unterscheidbarkeit von 5-stufigen Farbreihen (Ja/Nein-Entscheidung)

Layoutbeispiel: drei 5-stufige Farbreihen



Es gibt drei Grundfarben auf jeder Seite:
Schwarz N, Weiß W und Bunt X.
Zehn Seiten enthalten 10 Bunttonebenen
X = OYLCVM und RJGB.
Es gibt maximal 12 unterscheidbare Stufen.

Alle Stufen der drei Serien N-W, W-X und X-N sollen unterscheidbar sein auf **allen** Seiten.

Sind die drei 5-stufigen Reihen auf allen Seiten unterscheidbar? unterstreiche: Ja/Nein

Nur im Fall von Nein: Sind die drei 5-stufigen Reihen auf Seite x von 10 Seiten unterscheidbar?

Unterstreiche Ja/Nein und gib im Fall von Nein die Anzahl unterscheidbarer Stufen an

- Seite 1: Ja/Nein, wenn Nein ../12 Stufendifferenzen sind unterscheidbar von O = Orangerot
- Seite 2: Ja/Nein, wenn Nein ../12 Stufendifferenzen sind unterscheidbar von Y = Gelb
- Seite 3: Ja/Nein, wenn Nein ../12 Stufendifferenzen sind unterscheidbar von L = Laubgrün
- Seite 4: Ja/Nein, wenn Nein ../12 Stufendifferenzen sind unterscheidbar von C = Cyanblau
- Seite 5: Ja/Nein, wenn Nein ../12 Stufendifferenzen sind unterscheidbar von V = Violettblau
- Seite 6: Ja/Nein, wenn Nein ../12 Stufendifferenzen sind unterscheidbar von M = Magentarot
- Seite 7: Ja/Nein, wenn Nein ../12 Stufendifferenzen sind unterscheidbar von R = Elementarrot
- Seite 8: Ja/Nein, wenn Nein ../12 Stufendifferenzen sind unterscheidbar von J = Elementargelb
- Seite 9: Ja/Nein, wenn Nein ../12 Stufendifferenzen sind unterscheidbar von G = Elementargrün
- Seite 10: Ja/Nein, wenn Nein ../12 Stufendifferenzen sind unterscheidbar von B = Elementarblau

Summe: ../10 Ja-Seiten und ../120 Stufendifferenzen unterscheidbar

Teil 1

IG400-3

Dokumentation von Dateiformat, Hard- und Software für diese Prüfung:

PDF-Datei: entweder xxx/IG42/IG42L00NP.PDF
oder xxx/IG42/IG42P00NP.PDF

**unterstreiche Ja/Nein
oder unterstreiche Ja/Nein
oder unterstreiche Ja/Nein
oder unterstreiche Ja/Nein**

PS-Datei: entweder xxx/IG42/IG42L00NA.PS
oder xxx/IG42/IG42P00NA.PS

benutztes Rechner-Betriebssystem:

nur eines von Windows/Mac/Unix/anderes und Version:.....

Die Beurteilung ist für die Geräteausgabe: unterstreiche Monitor/Datenprojektor/Drucker

Geräte-Modell, -Treiber und -Version:.....

Geräteausgabe mit PDF/PS-Datei: unterstreiche PDF-/PS-Datei

Für Geräteausgabe mit PDF-Datei IG42(L/P)00NP.PDF:

- entweder PDF-Dateitransfer "download, copy" nach PDF-Gerät.....
- oder mit Rechnersystem-Interpretation durch "Display-PS":.....
- oder mit Software, z. B. Adobe-Reader/ Acrobat und Version:.....
- oder mit Software, z. B. Ghostscript und Version:.....

Für Geräteausgabe mit PS-Datei IG42(L/P)00NA.PS:

- entweder PS-Dateitransfer "download, copy" nach PS-Gerät.....
- oder mit Rechnersystem-Interpretation durch "Display-PS":.....
- oder mit Software, z. B. Ghostscript und Version:.....
- oder mit Software, z. B. Mac-Yap und Version:.....

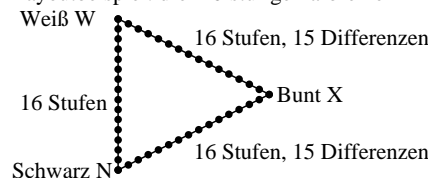
Spezielle Anmerkungen, z. B. Ausgabe von Landschaftsdatei (L) IG42L00NA.PS wurde abgeschnitten, Porträtdatei (P) IG42P00NA.PS wurde benutzt:.....

Teil 3

IG400-5

Unterscheidbarkeit von 16-stufigen Farbreihen (Ja/Nein-Entscheidung)

Layoutbeispiel: drei 16-stufige Farbreihen



Es gibt drei Grundfarben auf jeder Seite:
Schwarz N, Weiß W und Bunt X.
Zehn Seiten enthalten 10 Bunttonebenen
X = OYLCVM und RJGB.
Es gibt maximal 45 unterscheidbare Stufen.

Alle Stufen der drei Serien N-W, W-X und X-N sollen unterscheidbar sein auf **allen** Seiten.

Sind die drei 16-stufigen Reihen auf allen Seiten unterscheidbar? unterstreiche: Ja/Nein

Nur im Fall von Nein: Sind die drei 16-stufigen Reihen auf Seite x von 10 Seiten unterscheidbar?

Unterstreiche Ja/Nein und gib im Fall von Nein die Anzahl unterscheidbarer Stufen an

- Seite 1: Ja/Nein, wenn Nein ../45 Stufendifferenzen sind unterscheidbar von O = Orangerot
- Seite 2: Ja/Nein, wenn Nein ../45 Stufendifferenzen sind unterscheidbar von Y = Gelb
- Seite 3: Ja/Nein, wenn Nein ../45 Stufendifferenzen sind unterscheidbar von L = Laubgrün
- Seite 4: Ja/Nein, wenn Nein ../45 Stufendifferenzen sind unterscheidbar von C = Cyanblau
- Seite 5: Ja/Nein, wenn Nein ../45 Stufendifferenzen sind unterscheidbar von V = Violettblau
- Seite 6: Ja/Nein, wenn Nein ../45 Stufendifferenzen sind unterscheidbar von M = Magentarot
- Seite 7: Ja/Nein, wenn Nein ../45 Stufendifferenzen sind unterscheidbar von R = Elementarrot
- Seite 8: Ja/Nein, wenn Nein ../45 Stufendifferenzen sind unterscheidbar von J = Elementargelb
- Seite 9: Ja/Nein, wenn Nein ../45 Stufendifferenzen sind unterscheidbar von G = Elementargrün
- Seite 10: Ja/Nein, wenn Nein ../45 Stufendifferenzen sind unterscheidbar von B = Elementarblau

Summe: ../10 Ja-Seiten und ../450 Stufendifferenzen unterscheidbar

Teil 2

IG401-3

Dokumentation der Beurteiler-Farbseheigenschaften für diese Prüfung:

Der Beurteiler hat **normales** Farbsehen nach einer Prüfung:

- entweder nach DIN 6160:1996 mit Anomalskop nach *Nagel*
- oder mit Farbpunkt-Prüftafeln nach *Ishihara*
- oder mit, bitte nennen:.....

**unterstreiche Ja/Nein
unterstreiche Ja/unbekannt
unterstreiche Ja/unbekannt
unterstreiche Ja/unbekannt**

Nur für Display(Monitor, Daten-Projektor)-Ausgabe:

- Büro-Arbeitsplatz-Beleuchtung ist Tageslicht (bedeckter/Nordhimmel) unterstreiche Ja/Nein
- PDF-Dateiausgabe mit xxx/IG43/IG43L0NP.PDF unterstreiche Ja/Nein
- Vergleich Kontrastbereich der 16 Stufen F bis 0 mit Prüfvorlage Anhang B von ISO 9241-306:2009
- Nenne Kontrastbereich: (>F:0) (F:0) (E:0) (D:0) (C:0) (A:0) (9:0) (7:0) (5:0) (3:0) (<3:0)
- Anmerkung: Bei Tageslichtbürobeleuchtung ist der Kontrastbereich oft:
auf Papier zwischen: >F:0 (Hochglanz), F:0 (Seidenglanz) und E:0 (Matt)
- am Display zwischen: >F:0 und E:0 (Monitor), D:0 und 3:0 (Datenprojektor)

Nur für optionale farbmetrische Kennzeichnung mit PDF/PS-Dateiausgabe

- PDF-Datei:** entweder xxx/IG41/IG41L0NP.PDF unterstreiche Ja/Nein
oder xxx/IG41/IG41P0NP.PDF oder unterstreiche Ja/Nein
- PS-Datei:** entweder xxx/IG41/IG41L0NA.PS oder unterstreiche Ja/Nein
oder xxx/IG41/IG41P0NA.PS oder unterstreiche Ja/Nein

Farbmessung und Kennzeichnung für:

- CIE-Normlichtart D65, CIE-2-Grad-Beobachter, CIE-45/0-Geometrie unterstreiche Ja/Nein
- Wenn Nein, bitte andere Parameter nennen:

Farbmetrische Kennzeichnung mit PS-Datei für Farben der Spalten A bis T

- Ersatz der CIELAB-Daten in Datei xxx/IG47/IG47L0NP.PS und Transfer
- der PS-Datei IG47L0NP.PS in PDF-Datei IG47L0NP.PDF unterstreiche Ja/Nein
- Wenn Nein, bitte andere Methode beschreiben:

Teil 4

IG401-5